

تحلیل همدیدی موقعیت استقرار پرفشار سیبری و مسیرهای ورودی آن به کشور ایران در فصل سرد

حسن لشکری* - دانشیار گروه جغرافیا و اقلیم‌شناسی، دانشگاه شهید بهشتی
زهرا یارمرادی - دانشجوی کارشناس ارشد اقلیم‌شناسی، دانشگاه شهید بهشتی

پذیرش مقاله: ۱۳۹۲/۱۲/۲۷ تأیید نهایی: ۱۳۹۳/۰۴/۰۹

چکیده

پرفشار سیبری از توده‌های هوای بزرگ مقیاس جهان است که روی پهنه وسیعی از سیاره زمین اثر می‌گذارد و به دلیل نقش دوگانه آن در سواحل شمالی ایران و سایر قسمت‌های کشور اهمیت زیادی دارد. در پژوهش حاضر مسیر ورود پرفشار سیبری به ایران در فصل سرد با روش سینوپتیکی مطالعه شد. در این مطالعه، نقشه‌های فشار سطح متوسط دریا (slp)، طی دوره آماری ۲۰۰۰ تا ۲۰۱۰ برای شش ماه سرد سال با قدرت تفکیک مکانی ۲/۵ درجه از پایگاه داده (NCEP/NCAR) دریافت شد. به منظور سنجش اعتبار داده‌ها، سال ۲۰۰۰ به منزله سال نمونه مورد ارزیابی قرار گرفت و تأیید شد. سپس داده‌ها وارد نرم‌افزار GIS شده و در سه بخش شناسایی هسته، محور گسترش و مسیر ورود، تجزیه و تحلیل شدند. نتایج پژوهش نشان داد، هسته مرکزی سلول پرفشار سیبری در اوایل پاییز روی تبت شکل گرفته و با نزدیکشدن به فصل زمستان، به محدوده بین دریاچه بایکال و بالخاش منتقل می‌شود. زبانه پرفشار سیبری در ابتدای پاییز از سمت شرق وارد ایران شده و تا دامنه‌های شرقی البرز گسترش می‌یابد، ولی با شروع فصل زمستان و انتقال هسته‌های مرکزی به عرض‌های بالاتر، پشتۀ فشاری این سامانه از شمال شرق وارد ایران شده و گاهی تا دریای عمان گسترش می‌یابد؛ روند کلی گسترش پرفشار سیبری نیز شرقی - غربی بوده و در زمستان گسترش هسته‌ها به عرض‌های بالاتر بیشتر است؛ به گونه‌ای که تا ۴۰ درجه طول جغرافیایی را دربرمی‌گیرد؛ در حالیکه در فصل پاییز هسته‌ها روی فلات تبت قرار دارند و به دلیل توپوگرافی خاص منطقه، توده پرفشار محدود شده و قلمرو عملکرد آن کاهش می‌یابد.

کلیدواژه‌ها: الگوی سینوپتیکی، ایران، پرفشار سیبری، محور گسترش، مسیر ورود، هسته مرکزی.

مقدمه

پرفشار سیبری از سامانه‌های مهم دنیا است و به دلیل پهنه گسترش و حوضه نفوذ آن، مورد توجه همه اقلیم‌شناسان

جهان بوده است. خصوصیات منحصر به فرد این سامانه، از جمله پهنه‌گسترش، شدت فشار مرکزی (گاه مقدار فشار در هسته آن به بیش از ۱۰۷۵ هکتوپاسکال می‌رسد)، خصوصیات دمایی و رطوبتی و پهنه نفوذ زبانه‌های آن (گاه بین مرکز اروپا تا آفیانوس آرام در شرق بوده و از قطب تا جنوب ایران و حتی شبه‌جزیره عربستان را دربرمی‌گیرد)، توجه اکثر محققان را به خود جلب کرده است. ایران به‌دلیل هم‌جواری با این سامانه قوی، بیش از نیمی از سال به‌طور مستقیم و غیر مستقیم از این سامانه متأثر می‌شود و ورود آن به کشور همراه با افت شدید دما، یخ‌بندان‌های دور از انتظار و گاه خسارت‌های گسترده‌ای همراه است، بنابراین نیاز به مطالعه دقیق‌تر و آشنایی بیشتر با رفتارها، مسیرهای ورود و حوضه نفوذ آن روی ایران محسوس است. با وجود اینکه در مطالعات گسترده‌ای به‌طور غیر مستقیم به این سامانه پرداخته شده، ولی آثاری از مطالعه تخصصی آن به چشم نمی‌خورد (علیجانی، ۱۳۸۱).

پرفشار سیبری از توده‌های هوای بزرگ‌مقیاس جهان است که بر پهنه وسیعی از سیاره زمین اثر می‌گذارد. در طول دوره سرد سال، سرزمین پهناور آسیای مرکزی، شرقی و به‌ویژه سیبری، به‌دلیل فاصله زیاد از منابع آبی و فقدان رطوبت لازم و صاف‌بودن آسمان، از طریق تششع موج بلند، انرژی زیادی از دست داده و درنتیجه هوای مجاور زمین به‌شدت سرد شده و مرکز پرفشاری به‌وجود می‌آید (علیجانی، ۱۳۶۹). اولین نشانه تشکیل این پرفشار، ایجاد یک منحنی بسته در ماه سپتامبر در اطراف دریاچه بایکال است و به‌تدريج با تداوم فصل سرد بر شدت آن افزوده می‌شود؛ به‌طوری که در ماه دسامبر، متوسط فشار مرکزی آن به ۱۰۳۵ هکتوپاسکال می‌رسد (علیجانی، ۱۳۷۶). در این زمان بیشتر مناطق ایران را در مدار ۳۰ درجه اشغال می‌کند. ورود این پرفشار از شمال شرق آغاز می‌شود و کم‌کم تمام نواحی فلات مرکزی را اشغال می‌کند. به‌دلیل هم‌جواری ایران با این توده هوای در بخش عمده‌ای از سال این سامانه اقلیمی ایران را تحت تأثیر قرار می‌دهد. در زمان گسترش این پرفشار، دمای هوای ایران کاهش یافته و هوای سرد و خشکی حاکم می‌شود (لشکری، ۱۳۷۵). فرایار سیبری در تشکیل و حرکت چرخدنده‌ای ایران و خاورمیانه هم اثر دارد. در اوج گسترش خود هوای سرد را به دریای مدیترانه می‌ریزد و سبب تشکیل جبهه و درنهایت چرخدنده‌ای مدیترانه‌ای می‌شود و هنگام عقب‌نشینی، راه را از ایران برای عبور چرخدنها باز می‌کند. گاهی هم به‌شکل مانع در مقابل هوای مرطوب مدیترانه‌ای عمل می‌کند. در چنین موقعي هوای معتمد مدیترانه از روی هوای سرد سیبری صعود کرده و پس از رسیدن به مرحله اشبع و تراکم، ایجاد بارندگی می‌کند (علیجانی، ۱۳۷۴).

از آنجایی که نحوه تشکیل و ورود پرفشار سیبری در مناطق مختلف آسیای میانه اهمیت ویژه‌ای دارد، از این رو پژوهشگران خارجی و داخلی همواره از دیدگاه‌های مختلف به این سامانه توجه کرده‌اند که در ادامه به چند نمونه از مطالعات انجام گرفته در سال‌های اخیر اشاره می‌شود.

یوهی دینگ و کریشنامورتی (۱۹۸۷) طی پژوهشی با عنوان «شار گرمایی پرفشار سیبری و مونسون زمستان» اظهار داشتند که سرماهی ناشی از بازتابش زمین و حرکت نزولی هوا در مقیاس بزرگ، در تشکیل سامانه مذکور مؤثر بوده و اثر گرمای محسوس در تغییر شکل پرفشار بی‌تأثیر نیست. تاکاهاشی (۱۹۹۰) در پژوهشی، منطقه دریاچه بایکال - مغولستان را مهم‌ترین محل پرفشار سرد معرفی کرده است. زانگ، اسپریر و بویل (۱۹۹۶) ضمن بررسی اقلیم‌شناسی موسیمی‌ها و امواج سرد در شرق آسیا، دریافتند که پرفشار سیبری در ماه‌های دسامبر و ژانویه قوی‌تر ظاهر می‌شود. تاکایا

و ناکامورا (۲۰۰۵)، ضمن نشان دادن ارتباط بین تقویت پرفشار سبیری با وقوع بندالی در غرب آن، نتیجه گرفتند که برهمکنش بین ناهنجاری‌های توایی پتانسیلی بالای ورود سپهر با ناهنجاری‌های توایی پتانسیلی ناشی از هوای سرد سطح زمین، در تقویت پرفشار سبیری اهمیت زیادی دارند.

لينگيس و تامپسون (۲۰۰۷) با بررسی ارتباط بین پرفشار سبیری و بارش قبرس به اين نتيجه رسيدند که بين ميانگين فشار تراز دريا، گراديان فشار و منطقة حداکثر فشار سامانه سبیري با بارش نواحي مختلف قبرس در ماههای متفاوتی از سال ارتباط وجود دارد. المودي، حسنيان و المزروعى (۲۰۱۳) با استفاده از شاخص (SHI) و سطح اطمینان ۹۵ درصد، به بررسی پيوند از دور پرفشار سبیری و گرددش‌های استوایی و ارتباط آن با دمای هوای عربستان پرداختند. یافته‌های آنها نشان داد که مرکز عمل پرفشار سبیری رفتار دوره‌ای ندارد و تحت تأثیر گرددش سلول هدلی قرار گرفته است؛ ضمن اينکه پايين ترين فراوانی به دمای سطح دريا بر منطقة النينو مربوط است و همچنين نوسانات دمای سطح دريا در طول النينو روی سبیري تأثير دارد.

در ايران نيز چندين کار در زمينه پرفشار سبیري و تأثیر آن بر اقليم کشور صورت گرفته است. بليغى (۱۳۷۵) ضمن بررسی تأثیر پرفشار سبیري بر اقليم خراسان، نتيجه گرفت که بيش از ۹۰ درصد از يخندان‌های پايزده خراسان، به‌سبب سامانه مذكور ايجاد شده است. چوخاچي‌زاده (۱۳۷۶) با آثار سينوپتيكى پرفشار سبیري روی دمای شمال شرقی ايران در بازه زمانی چهارساله، نتيجه گرفت که ماه اكتير همزمان با تشکيل پرفشار سبیري بوده است.

عزيزى و يوسفي (۱۳۸۴) در پژوهشی با استفاده از داده‌های حداقل فشار سه ايستگاه انزلی، بابلسر و همدان، در يك دوره آماری نه ساله به زمان‌يابي ورود پرفشار سبیري به سواحل جنوبی خزر اقدام كردند. براین اساس دهه دوم اكتبر برابر با دهه سوم مهر با بيشترین فراوانی، آغاز مرحله فعالیت پرفشار سبیري در منطقه شناخته شد.

مفیدى و ذرين (۱۳۸۵) به تحليل ماهيت و ساختار مراكز پرفشار و کم‌فترش پرداختند. آنها مراكز فشار را به دو دسته ديناميكي و حرارتى تقسيم كردند. در اين بررسى مشخص شد که مراكز فشار حرارتىتابع شدت تابش خورشيد، عرض جغرافيايی و فصل سرد سال هستند، به همین دليل مراكز پرفشار حرارتى در عرض‌های بالا و در دوره سرد سال تشکيل می‌شوند.

مهمندوست (۱۳۸۵) ضمن مطالعه شدت و گسترش پرفشار سبیري روی ايران با استفاده از GIS، نتيجه گرفت که حداکثر گسترش پرفشار مربوط به ماه فوريه است. خسروي و اسماعيلي (۱۳۸۶) با بررسی الگوهای همدید يخندان‌های ديررس شمال شرق کشور در يك دوره آماري ييست‌ساله، به اين نتيجه رسيدند که شدیدترین يخندان‌ها زمانی رخ می‌دهد که پرفشار سبیري با پرفشارهای غربی مهاجر در هم ادغام شوند. عامل اصلی وقوع يخندان‌ها در همه الگوها پرفشار سبیري است که باعث ريزش هوای سرد از شمال شرق کشور و افت رطوبت نسبی و دما و درنهایت، بروز يخندان‌های وزشی در اين منطقه می‌شود.

ایران نژاد و همکاران، ضمن بررسی بازه‌های نوسان سالانه کمرنگ پرفشار جنب حراره و پرفشار سبیري بر چرخندزايي مدitariane و بارش ايران، به اين نتيجه دست یافتند که بازه‌های نوسان سالانه پرفشار جنب حراره و پرفشار سبیري، در سال‌های تر بيشتر از ميانگين بلندمدت است (ایران نژاد، احمدی گيوى و محمدنژاد، ۱۳۸۸). مسعوديان،

کاشکی و حسینی (۱۳۹۰) در بررسی تیپ‌های همدید اقلیم شمال شرق کشور و ارتباط آن با سامانه‌های گردشی روز در یک دوره آماری بیست‌وساله، به این نتیجه رسیدند که با توجه به نقشه‌های الگوهای گردشی، نقش سامانه‌های پارتفاون عربستان و جنوب ایران در دوره گرم و خشک و نقش فرود مدیترانه، فرود سبیری و فرود شمال شرق در دوره سرد سال مؤثر است.

احمدی گیوی و احمدی حجت (۱۳۹۱) با بررسی دینامیکی و ترمودینامیکی ساختار پرفشار سبیری به این نتیجه رسیدند که پرفشار سبیری فقط یک سامانه محدود به سطح زمین نیست و می‌تواند با میدان‌های هواشناختی در بالای جو نیز در ارتباط باشد. در تحلیل همدید امواج سرماهای فراگیر مشخص شد که الگوی حاکم بر این موج سرمای شدید، الگوی پرفشار سبیری بوده است (لشکری، ۱۳۸۷؛ عزیزی، اکبری، داویدی و اکبری، ۱۳۸۹؛ علیجانی، طاوسی، نگارش و کریمی، ۱۳۹۱؛ امیدوار و ابراهیمی، ۱۳۹۱). از بررسی مطالعات انجام شده، می‌توان این‌گونه برداشت کرد که پرفشار سبیری یک مرکز پرفشار حرارتی است که از اوایل دوره سرد سال (اکتبر) در محدوده جغرافیایی بین ۱۲۰-۶۰ طول شرقی و ۶۰-۴۰ عرض شمالی روی خشکی‌های وسیع آسیا و سبیری تشکیل شده است و در اطراف مدار ۴۷ درجه شمالی به سوی شمال و جنوب نوسان می‌کند. این سامانه در راستای شرقی و غربی گسترش چشمگیری دارد و پشتۀ فشاری آن مناطق مختلفی را تحت تأثیر قرار می‌دهد. در این حالت سلول مرکزی آن تحت تأثیر شرایط ترمودینامیکی سطوح میانی تروپوسفر (تراز ۵۰۰ هکتوپاسکال) تشدید یا تضعیف می‌شود.

با مرور مطالعاتی که تا کنون در مورد پرفشار سبیری انجام گرفته است، به موقعیت واقعی استقرار هسته مرکزی این سامانه در طول سال و جایه‌جایی آن در دوره فعالیت، الگوی گسترش و مسیرهای اصلی ورود این سامانه به ایران، کمتر توجه شده است که در این پژوهش تلاش می‌شود تا این شکاف مطالعاتی پر شده و جزئیات همدیدی مربوط به گسترش آن، روشن شود.

مواد و روش‌ها

در پژوهش پیش رو با توجه به اینکه فقط نوسانات و حرکات یک سیستم خاص مد نظر بوده، بنابراین دوره یازده‌ساله، به خوبی می‌تواند انتظار ما را از پژوهش برآورده کند. برای بررسی نقش پرفشار سبیری، ابتدا از نقشه‌های محدود به طول جغرافیایی ۴۵ تا ۱۱۵ درجه شرقی و عرض جغرافیایی ۲۰ تا ۶۰ درجه شمالی در یک دوره آماری یازده‌ساله (۲۰۰۰ تا ۱۰۰۰) استفاده شده است. همچنین داده‌های مربوط به ماه‌های سرد سال؛ یعنی اکتبر، نوامبر، دسامبر، ژانویه، فوریه و مارس، در این محدوده به کار گرفته شده است. داده‌های مورد استفاده، فشار تبدیل شده به سطح متوسط دریا (slp) است که از پایگاه داده مرکز ملی پیش‌بینی‌های محیطی پژوهش‌های جوی ایالات متحده آمریکا (NCEP/NCAR) با قدرت تفکیک مکانی $2/5 \times 2/5$ درجه به دست آمده است. برای تعیین دقت موقعیت استقرار پرفشار سبیری، به تحلیل این داده‌ها در محیط GIS ARC پرداخته شد. هسته، مسیر و محورهای گسترش به صورت لایه‌های رقومی درآمده و به نقشه‌های

تفسیرشدنی در اقلیم‌شناسی تبدیل شدند. در تحلیل این نقشه‌ها، ابتدا موقعیت متوسط هسته مرکزی، الگوی گسترش و محور اصلی پرفشار سبیری در یک دوره یازده ساله مورد بررسی قرار گرفت. در این مرحله هسته مرکزی پرفشار سبیری با استفاده از اولین منحنی بسته شده در هر یک از ماه‌های سرد سال مشخص شد. همچنین محور گسترش و مسیر ورود آن به سمت ایران با استفاده از انتهای آخرین منحنی همفشار بسته شده به دور مرکز پرفشار سبیری، مشخص شد. برای اطمینان از صحت کار و الگوی واقعی گسترش، هسته مرکزی پرفشار در سال ۲۰۰۰ به صورت روزبه‌روز در هریک از ماه‌های سرد سال ترسیم شده است.

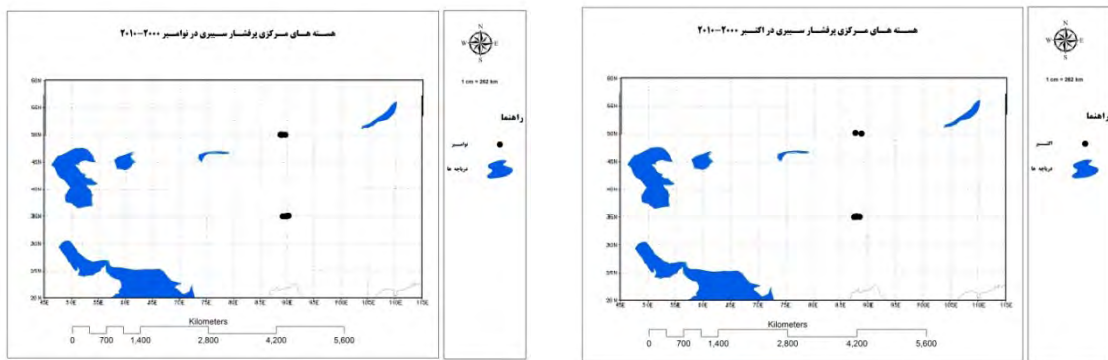
یافته‌های پژوهش

تحلیل موقعیت هسته مرکزی پرفشار در دوره سرد سال (موقعیت متوسط)

همان‌طور که پیش از این گفته شد، در این بررسی موقعیت هسته مرکزی (اولین منحنی بسته شده دور هسته پرفشار) به طور متوسط ماهانه در یک دوره یازده‌ساله تعیین شده است.

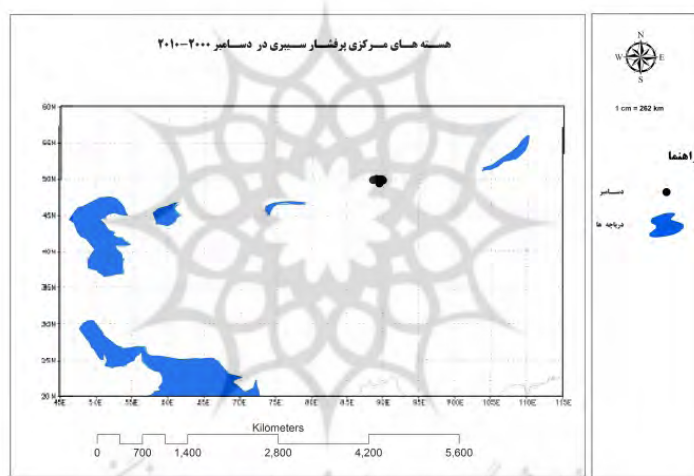
فصل پاییز

شکل‌های ۱ تا ۳ موقعیت هسته‌های مرکزی پرفشار سبیری را بهتر ترتیب در ماه اکتبر، نوامبر و دسامبر نشان می‌دهد. در این شکل‌ها دیده می‌شود که هسته‌های مرکزی در محدوده‌ای بین ۳۴ تا ۵۱ درجه شمالی (محدوده فلات تبت و محدوده بین دریاچه‌های بایکال و بالخاش) و طول‌های ۸۷ تا ۹۱ درجه شرقی پراکنده شده‌اند. در ماه اکتبر (شروع فصل سرد) عده‌های مرکز (هشت هسته از هسته‌های یازده‌گانه) روی فلات تبت بسته شده است. به نظر می‌رسد هنوز دمای هوا روی خشکی‌های سبیری بالا نیست و زمینه لازم برای تکوین این سامانه آماده نشده، ولی ارتفاع زیاد فلات تبت این شرایط را بهتر فراهم کرده است. در اکتبر، بیشتر هسته‌ها در محدوده فلات تبت با متوسط فشار مرکزی $1029/5$ هکتوپاسکال بسته شده، همچنین یک هسته در محدوده صحرای سبیری، بین دریاچه‌های بایکال و بالخاش و یک هسته در شمال غرب دریاچه مازندران (از نوع پرفشار ادغامی) بسته شده‌اند، در حالیکه در ماه نوامبر فراوانی هسته‌های پرفشار بین فلات تبت و دریاچه‌های بایکال و بالخاش با فشار مرکزی 1035 هکتوپاسکال متعادل‌تر شده است. درنتیجه با پایین‌تر رفتن زاویه تابش و بیلان منفی انرژی روی عرض‌های جغرافیایی بالاتر، شرایط بهتری برای شکل‌گیری پرفشار سبیری فراهم شده است. در ماه دسامبر نیز هسته‌های مرکزی پرفشار سبیری با فشار متوسط $1037/5$ هکتوپاسکال به سمت عرض‌های جغرافیایی بالاتر (طول‌های ۸۷ تا ۹۱ درجه شرقی و عرض‌های ۴۷ تا ۵۱ درجه شمالی) جابه‌جا شده‌اند. با نزدیک شدن به ماه سرد سال در نیمکره شمالی، مرکز هم به عرض‌های بالاتر جابه‌جا شده و روی جنوب صحرای سبیری متتمرکز شده‌اند.



شکل ۲. هسته‌های مرکزی پرفشار سیبری متوسط
نوامبر ۲۰۱۰-۲۰۰۰

شکل ۱. هسته‌های مرکزی پرفشار سیبری متوسط
اکتبر ۲۰۱۰-۲۰۰۰

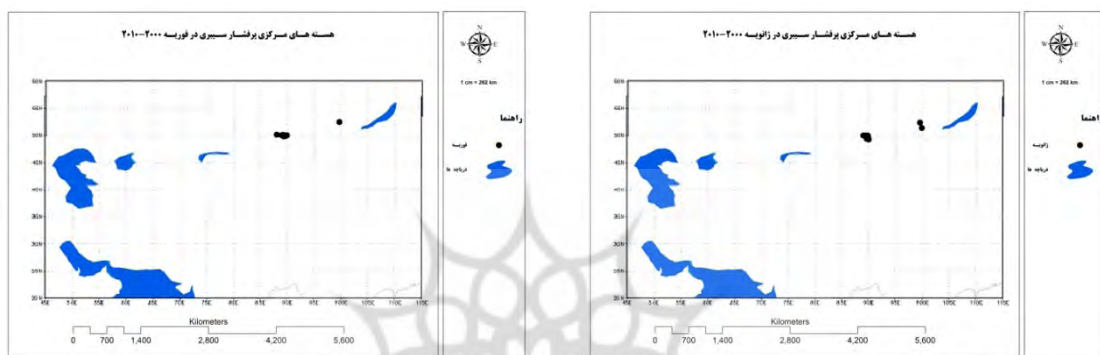


شکل ۳. هسته‌های مرکزی پرفشار سیبری متوسط دسامبر ۲۰۱۰-۲۰۰۰

فصل زمستان

شکل‌های ۴، ۵ و ۶ موقعیت هسته‌های مرکزی پرفشار سیبری را در ماه ژانویه، فوریه و مارس نشان می‌دهد. ملاحظه می‌شود موقعیت هسته‌ها در ماه ژانویه نسبت به ماه‌های قبل، منظم‌تر شده و از تمرکز بیشتری برخوردار هستند. بیشتر هسته‌ها در این ماه در یک محدوده کوچک بین دریاچه‌های بایکال و بالخاش (طول‌های ۸۵ تا ۹۱ درجه شرقی و عرض‌های ۴۷ تا ۵۳ درجه شمالی) متتمرکز شده‌اند. در این ماه بیلان انرژی منفی روی سیبری به اوج خود رسیده و دمای هوا به حداقل ممکن می‌رسد. همچنین نفوذ زبانه‌های سرد قطبی از عرض‌های بالاتر، موجب افزایش شدت سرما شده و از سویی، وجود برف روی این منطقه انعکاس را تشدید کرده و بر سرمایش هوا در لایه زیرین بیش از پیش می‌افزاید؛ در این ماه به دلیل سردی بیش از حد هوا، هسته‌های مرکزی پرفشار سیبری محدوده بیشتری را اشغال کرده است، در حالیکه در ماه فوریه با برگشت به سمت اعتدال و افزایش نسبی دمای هوا و کاهش منفی بیلان تابش، هسته‌ها از حالت تراکم درآمده و به سمت شمال دریاچه بالخاش و عرض‌های پایین جابه‌جایی داشته‌اند؛ به‌طوری که بیشتر

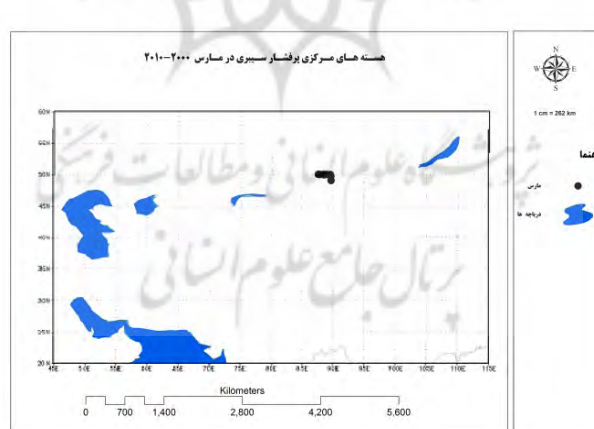
هسته‌ها در محدوده طول ۹۰ درجه شرقی و عرض ۵۲ درجه شمالی بسته شده‌اند. پدیده جالب توجه، فشردگی بسیار زیاد مرکز هسته‌ها روی سیبری است. در عمدۀ موارد هسته مرکزی در محدوده کوچکی بین طول‌های ۸۵ تا ۹۱ درجه شرقی (تعداد دو هسته نیز روی طول ۱۰۰ درجه شرقی) و عرض‌های ۴۸ تا ۵۳ درجه شمالی بسته شده‌اند. در ماه مارس با وجود اینکه هنوز اکثر هسته‌های پرفشار بین دریاچه‌های بایکال و بالخاش قرار دارند، ولی بهدلیل نزدیک شدن اعتدال نسبی دمای هوای مرکز هسته‌ها نسبت به ماه‌های قبل فشردگی بیشتری داشته و اینکه هسته‌های بسته شده روی صحراي سیبری نسبت به ماه‌های قبل، کمی به سمت پایین جابه‌جایی داشته‌اند.



شکل ۵. هسته مرکزی پرفشار سیبری متوسط ژانویه ۲۰۱۰ - ۲۰۰۰

۲۰۰۰

۲۰۰۰



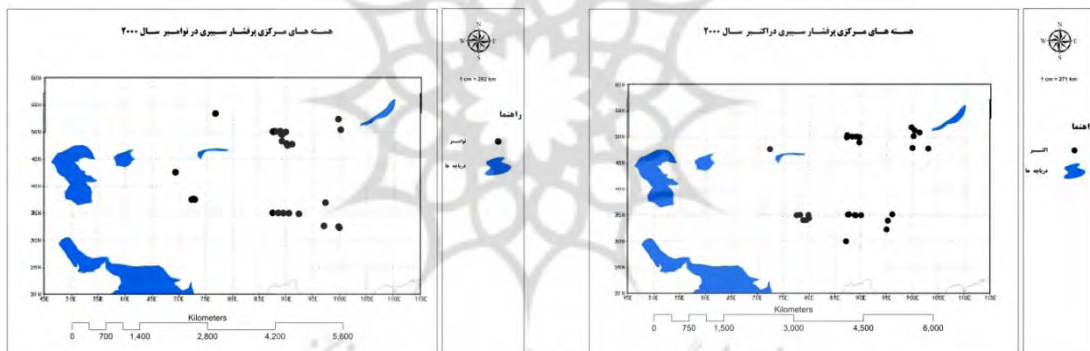
شکل ۶. هسته مرکزی پرفشار سیبری متوسط مارس ۲۰۱۰ - ۲۰۰۰

موقعیت هسته‌های مرکزی پرفشار در سال نمونه (۲۰۰۰)

با توجه به اینکه در بررسی قبلی، موقعیت متوسط هسته مرکزی پرفشار در یک دوره یکماهه متوسط گرفته شد، برای دقت در موقعیت واقعی یا پراکنش واقعی هسته‌ها، سال ۲۰۰۰ را به منزله سال نمونه انتخاب کرده و این بار موقعیت روزانه هسته مرکزی پرفشار در شش ماه سرد سال تعیین شد. پراکنش هسته مرکزی در هر یک از ماه‌های سرد سال به شرح زیر بوده است.

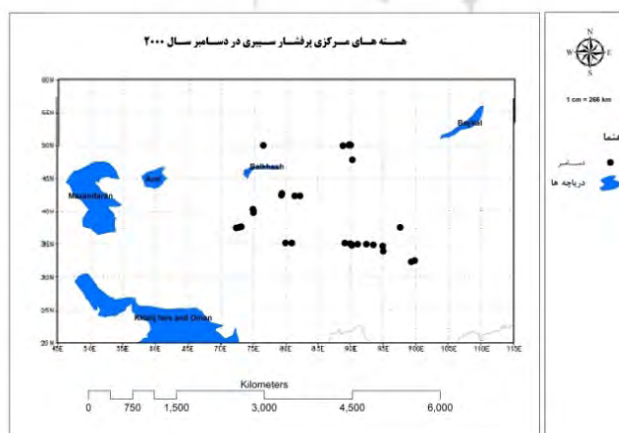
فصل پاییز

شکل‌های ۷، ۸ و ۹، موقعیت هسته‌های مرکزی پرفشار را در هریک از روزهای فصل پاییز سال ۲۰۰۰ نشان می‌دهد. همان‌گونه که ملاحظه می‌شود، هسته‌ها در محدوده‌ای بین عرض‌های ۳۰° تا ۵۲° درجه شمالي (محدوده بین فلات تبت تا دریاچه بایکال و بالخاش) و طول‌های ۷۱° تا ۱۰۴° درجه شرقی پراکنده شده‌اند؛ به دلیل ورود پرفشار مهاجر غربی و ادغام آن با پرفشار سیبری، تعدادی از هسته‌ها نیز در غرب و جنوب غرب دریاچه آرال بسته شده‌اند. ملاحظه می‌شود که در ماه اکتبر ابتدا هسته‌ها در محدوده فلات تبت شکل گرفتند که با افزایش سرما به سمت عرض‌های بالاتر جابه‌جا شده و پراکندگی بیشتری پیدا کردند. در این ماه به نظر می‌رسد که هنوز دمای هوا روی خشکی‌های سیبری زمینه لازم را برای تشکیل این سامانه فراهم نکرده است. در ماههای نوامبر و دسامبر هسته‌ها از حالت تمرکز بین دو منطقه بیرون آمده و قدری پراکنده‌تر شده‌اند و محدوده طولی بیشتری را اشغال کردند. تعدادی هسته نیز در شمال شرق افغانستان تشکیل شده است، ولی با نزدیک شدن به ماه سرد سال در نیمکره شمالي، تراکم هسته‌های مرکزی پرفشار به سمت عرض‌های بالاتر بیشتر شده است.



شکل ۷. هسته‌های مرکزی پرفشار سیبری
نوامبر سال ۲۰۰۰

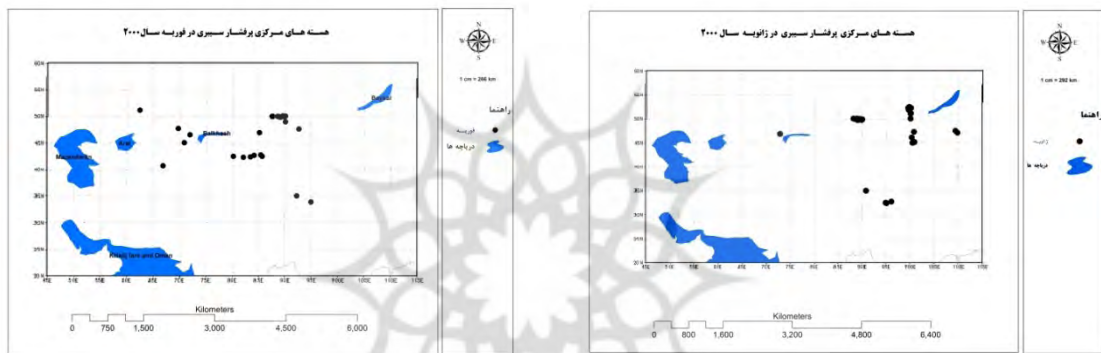
اکتبر سال ۲۰۰۰



شکل ۸. هسته‌های مرکزی پرفشار سیبری دسامبر سال ۲۰۰۰

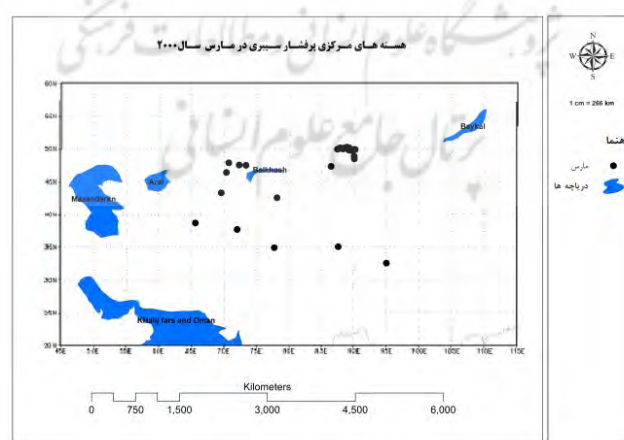
فصل زمستان

با مشاهده شکل‌های ۱۱، ۱۲، می‌توان دریافت که هسته‌های مرکزی پرفشار سیبری در زمستان در دو منطقه اصلی متتمرکز شده‌اند. هسته اصلی تمرکز هسته‌های پرفشار بین دریاچه بایکال و بالخاش قرار دارد. این پدیده در هر سه ماه زمستان نیز به چشم می‌خورد. هسته دوم در محدوده طول‌های ۹۰ تا ۹۷ درجه شرقی و عرض ۳۱ تا ۳۵ درجه شمالی (روی فلات تبت) تمرکز دارند. بنابراین الگوی حاکم در پراکنش هسته‌های پرفشار در حالت متوسط با نمونه مطالعاتی سال ۲۰۰۰ که به صورت روزانه بررسی شد نیز، هماهنگ نشان می‌دهد. به همین دلیل می‌توان گفت، هسته‌های اصلی پرفشار سیبری که روی ایران تأثیر می‌گذارند، در دو منطقه اصلی بین دریاچه‌های بایکال و بالخاش و شمال تبت بسته شده‌اند.



شکل ۱۱. هسته‌های مرکزی پرفشار سیبری
فوریه سال ۲۰۰۰

شکل ۱۰. هسته‌های مرکزی پرفشار سیبری
زانویه سال ۲۰۰۰



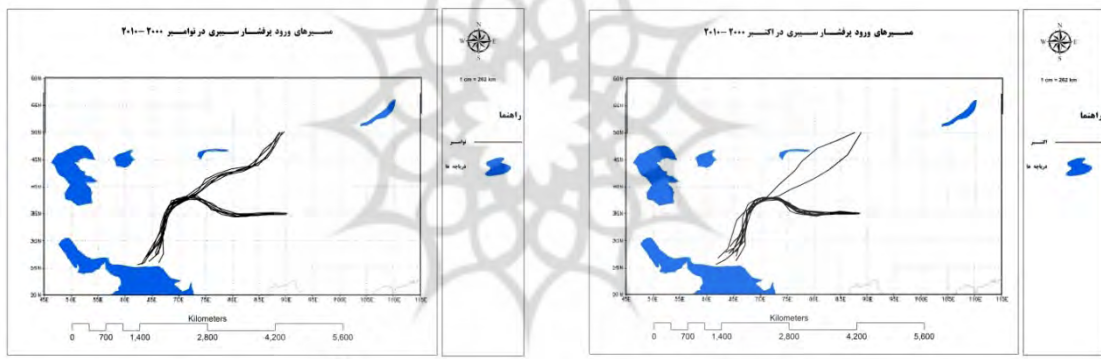
شکل ۱۲. هسته‌های مرکزی پرفشار سیبری مارس سال ۲۰۰۰

تحلیل مسیر ورودی پرفشار سیبری در دوره سرد سال (موقعیت متوسط)

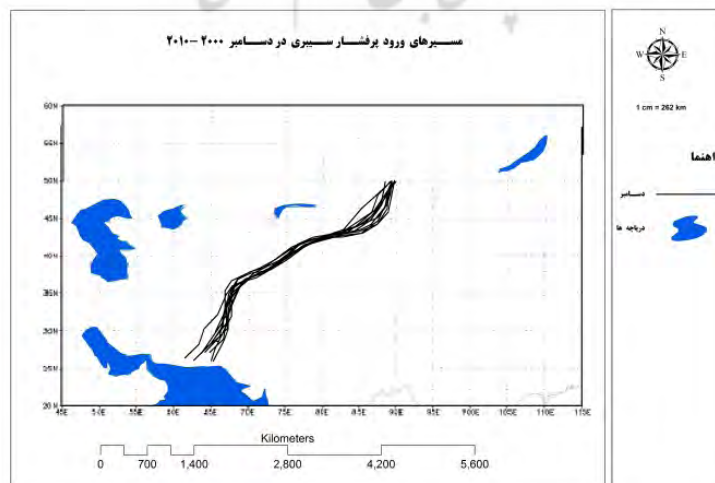
در این مرحله از پژوهش، در یک دوره یازده ساله مسیر ورود سامانه پرفشار سیبری با میانگین‌گیری مسیرها برای تمام ۳۰ روز بررسی شده است.

فصل پاییز

شکل‌های ۱۳ تا ۱۵ مسیر ورود پرفشار سیبری را در فصل پاییز نشان می‌دهند. ملاحظه می‌شود که الگوی زبانه پرفشار سیبری کاملاً شمال شرقی - جنوب غربی است و زبانه پس از عبور از روی افغانستان و شمال پاکستان، از سمت شرق و شمال استان سیستان و بلوچستان وارد ایران شده است. انتهای زبانه در این ماه به طور کلی تا طول ۶۰ درجه (شمال استان هرمزگان و مرکز استان فارس) امتداد یافته است. ملاحظه می‌شود که این الگوها با الگوی گسترش هسته‌ها هماهنگی دارد؛ یعنی در ماه اکتبر، همزمان با تشکیل پرفشار سیبری، بیشتر زبانه‌ها از سمت فلات تبت (محدوده ۸۷ درجه شرقی و ۳۵ درجه شمالی) به کشور ایران گسل شده‌اند، در حالیکه هرچه دمای هوا رو به سردی رفته، زبانه‌ها نیز به سمت عرض‌های بالاتر (محدوده دریاچه بایکال و بالخاش) جابه‌جا شده‌اند؛ به طوری که در ماه دسامبر تمام زبانه‌های یازده‌گانه به سمت عرض‌های بالا (محدوده بین دریاچه بایکال و بالخاش) حرکت کرده‌اند، به این معنا که با افزایش تعداد روزهای تشکیل پرفشار سیبری، مقادیر فشار مرکزی آن نیز افزایش یافته و درنتیجه با گسترش نصف‌النهاری، زبانه جنوب غربی سامانه مذکور وارد کشور می‌شود.



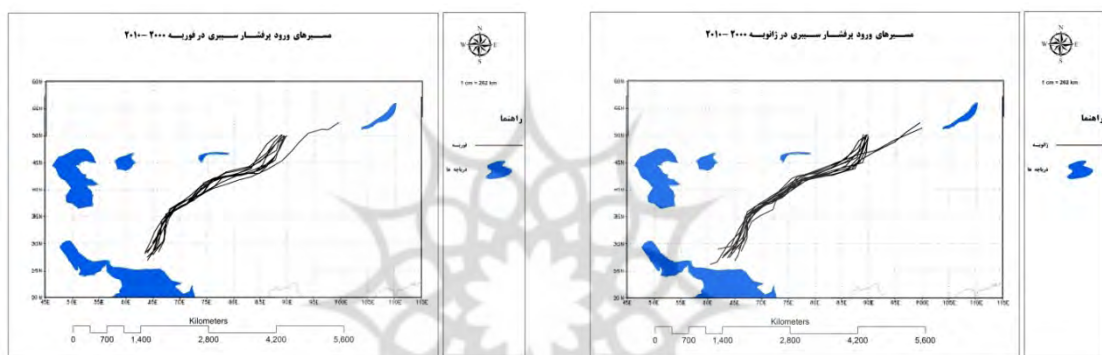
شکل ۱۴. مسیر ورود زبانه پرفشار سیبری متوسط
نوامبر ۲۰۰۰-۲۰۱۰
اکتبر



شکل ۱۵. مسیر ورود زبانه پرفشار سیبری متوسط دسامبر ۲۰۰۰-۲۰۱۰

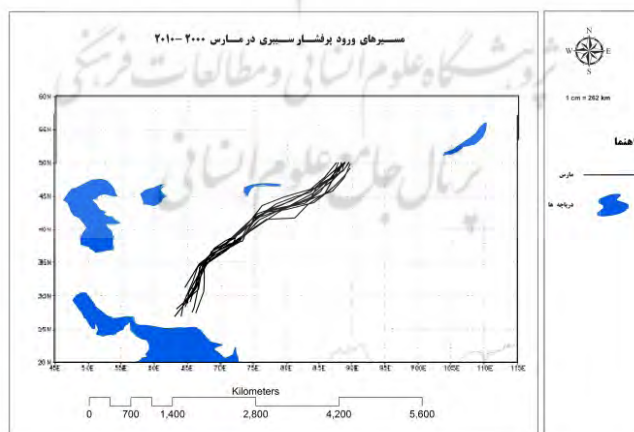
فصل زمستان

شکل‌های ۱۶ تا ۱۸ مسیر ورود پرفشار سیبری را در فصل زمستان نشان می‌دهند. در این فصل نیز همانند فصل قبل، مسیر ورود زبانه مذکور شمال شرقی - جنوب غربی است و با الگوهای قبلی نیز هماهنگی کامل دارد. این زبانه‌ها پس از عبور از روی افغانستان و شمال پاکستان، از سمت شرق و جنوب شرق وارد ایران می‌شوند. در واقع با پیشروی دوره سرد و سردترشدن دمای هوا، بر شدت این پرفشار افزوده می‌شود؛ به طوری که در ماه ژانویه به حداکثر شدت و گسترش خود می‌رسد. فشار مرکزی این فرابار به طور متوسط بیش از ۱۰۳۹ هکتوپاسکال است. با افزایش نسبی دمای هوا، از فشار مرکزی هسته‌ها کاسته می‌شود؛ به طوری که این فشار در ماه فوریه به ۱۰۳۵ و در ماه مارس به ۱۰۳۲ هکتوپاسکال کاهش داشته است.



شکل ۱۶. مسیر ورود زبانه پرفشار سیبری متوسط ژانویه
۲۰۰۰-۲۰۱۰

شکل ۱۶. مسیر ورود زبانه پرفشار سیبری متوسط ژانویه
۲۰۰۰-۲۰۱۰

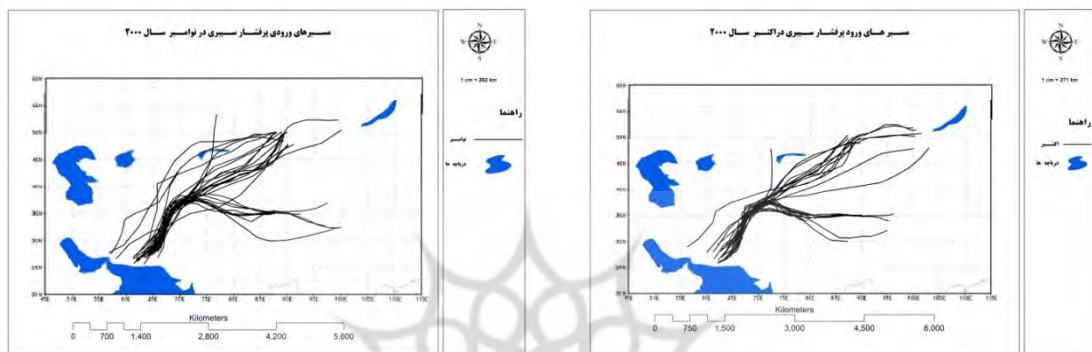


شکل ۱۷. مسیر ورود زبانه پرفشار سیبری متوسط مارس
۲۰۰۰-۲۰۱۰

تحلیل مسیر ورودی پرفشار سیبری در سال نمونه ۲۰۰۰ فصل پاییز

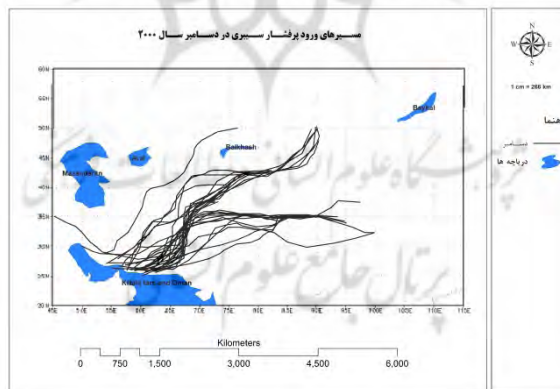
شکل‌های ۱۹، ۲۰ و ۲۱ مسیر ورود زبانه پرفشار سیبری را در فصل پاییز سال ۲۰۰۰ نشان می‌دهند. این فصل با نقشه‌های متوسط ماهانه همخوانی داشته و زبانه پرفشار سیبری کاملاً شمال شرقی - جنوب غربی، پس از

عبور از افغانستان و شمال پاکستان، از سمت شرق و شمال شرق وارد ایران شده است. حد انتهایی گسترش این زبانه به سمت مرکز و غرب ایران در حال امتداد است. همان‌گونه که مشاهده می‌شود، مقادیر فشار مرکزی پرفشار سیبری در اوایل شکل‌گیری (ماه اکتبر) کم بوده و فلات تبت شرایط لازم را برای ایجاد این پرفشار فراهم کرده است؛ در حالیکه با سرد شدن هوا و کمبود بیلان انرژی در عرض‌های بالا، این سامانه به محدوده بین دریاچه بایکال و بالخاش منتقل شده است. حد گسترش زبانه‌ها به حدی است که تمام نواحی ایران را دربرگرفته و هوای سرد را برای این مناطق به ارمغان می‌آورد.



شکل ۲۰. مسیر ورود زبانه پرفشار سیبری
نوامبر سال ۲۰۰۰

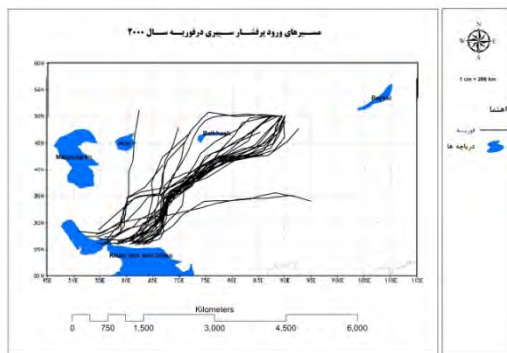
شکل ۱۹. مسیر ورود زبانه پرفشار سیبری
اکتبر سال ۲۰۰۰



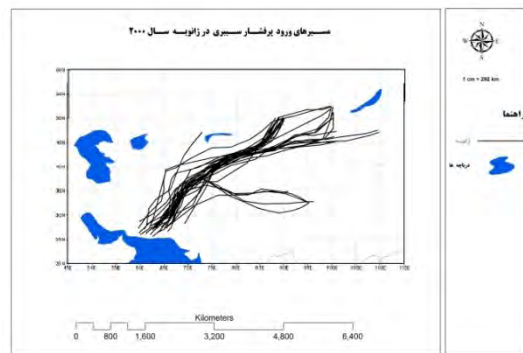
شکل ۲۱. مسیر ورود زبانه پرفشار سیبری دسامبر ۲۰۰۰

فصل زمستان

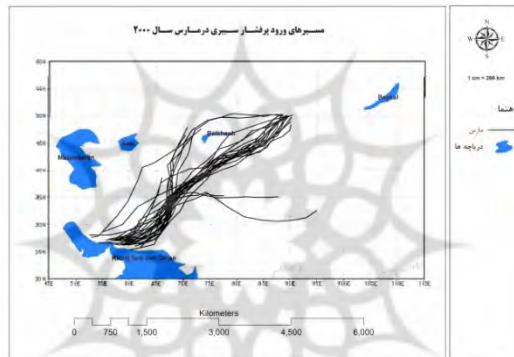
شکل‌های ۲۲ تا ۲۴ مسیر ورود زبانه پرفشار سیبری به ایران را در سال ۲۰۰۰ نشان می‌دهند. زبانه‌ها با الگویی شمال شرقی - جنوب غربی پس از عبور از ترکمنستان، افغانستان و پاکستان، از سمت شرق و شمال شرق وارد ایران شده‌اند. همان‌طور که مشاهده می‌شود، بیشتر این زبانه‌ها در فصل زمستان در محدوده بین دریاچه بایکال و بالخاش تشکیل شده‌اند.



شکل ۲۳. مسیر ورود پرفشار سیبری
فوریه سال ۲۰۰۰



شکل ۲۲. مسیر ورود زبانه پرفشار سیبری
ژانویه سال ۲۰۰۰



شکل ۲۴. مسیر ورود پرفشار سیبری مارس ۲۰۰۰

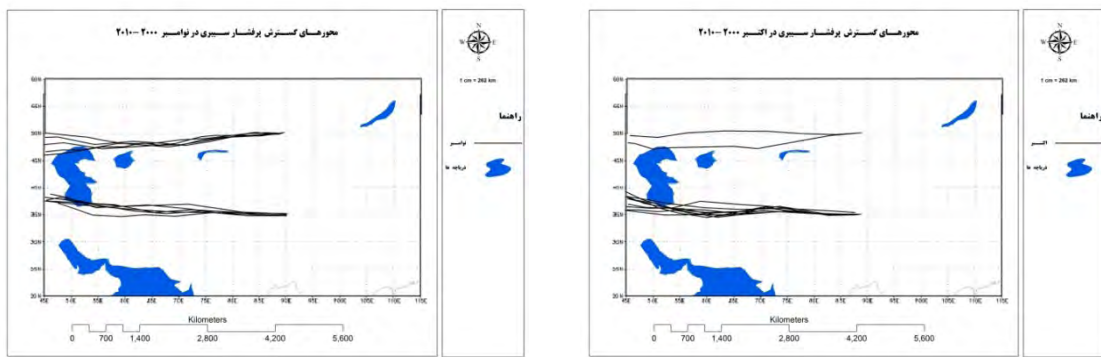
تحلیل محور گسترش پرفشار سیبری در دوره سرد سال (موقعیت متوسط)

در این مرحله از پژوهش، محور اصلی گسترش زبانه‌های پرفشار سیبری (ابتدا و انتهای آخرین منحنی بسته شده به دور پرفشار) بررسی می‌شود.

فصل پاییز

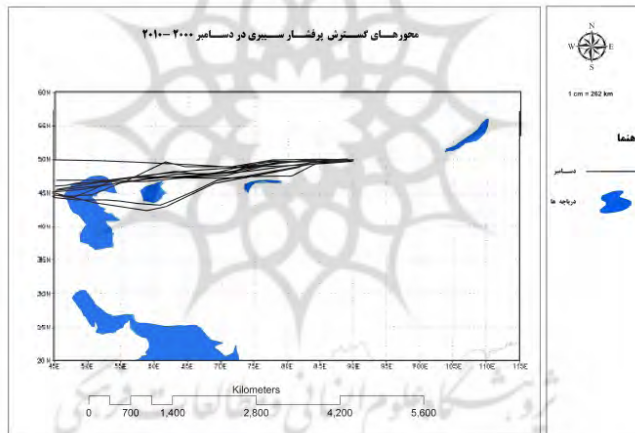
شکل‌های ۲۵ تا ۲۷ محور گسترش پرفشار سیبری را در فصل پاییز نشان می‌دهد. محور گسترش پرفشار در این فصل در دو منطقه اصلی متمرکز شده‌اند. ماه اکتبر، هسته اصلی در محدوده فلات تبت (۳۶ تا ۳۴ درجه عرض شمالی) بسته شده است. این زبانه‌ها دارای الگویی شرقی - غربی (مداری) بوده که پس از عبور از افغانستان، از سمت شرق و استان خراسان رضوی به ایران وارد شده و تا مرکز عراق (طول ۴۴ درجه غربی) امتداد یافته است. همان‌گونه که مشاهده می‌شود، هرچه به ماه‌های سرد سال نزدیک می‌شویم، این زبانه‌ها نیز به سمت عرض‌های بالاتر (محدوده بین دریاچه بایکال تا بالخاش) جابه‌جا می‌شوند؛ به طوری که در ماه دسامبر، زبانه‌های مذکور کاملاً در محدوده صحراهای سیبری قرار گرفته‌اند. در تعدادی از هسته‌ها که در محدوده بین دریاچه‌های بایکال و بالخاش بسته شده‌اند نیز، محور گسترش شرقی - غربی بوده که به سمت شمال دریای سیاه (طول ۳۷ درجه غربی) امتداد یافته است. بیشترین محورهای گسترش در

این فصل در محدودهٔ فلات تبت است که با فرارسیدن ماه‌های بعدی، این محورها به سمت عرض‌های بالاتر جابه‌جا شده‌اند.



شکل ۲۶. الگوی گسترش پرفشار سیبری متوسط نوامبر
۲۰۰۰-۲۰۱۰

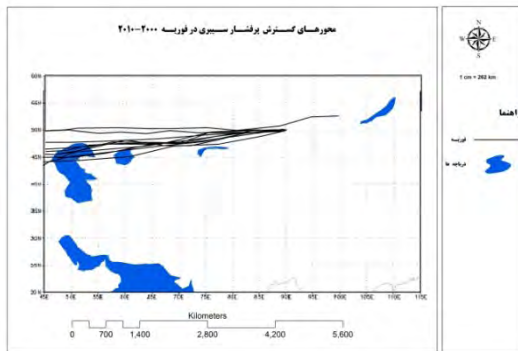
شکل ۲۵. محور گسترش پرفشار سیبری متوسط
اکتبر ۲۰۱۰-۲۰۰۰



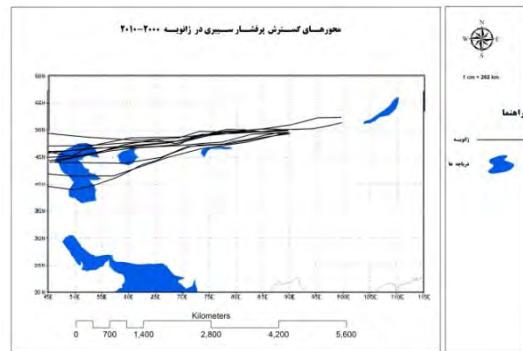
شکل ۲۷. محور گسترش پرفشار سیبری دسامبر ۲۰۱۰-۲۰۰۰

فصل زمستان

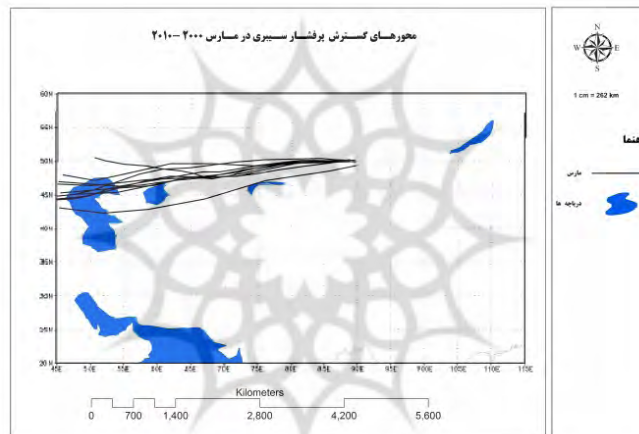
شکل‌های ۲۸ تا ۳۰ محور گسترش پرفشار سیبری را در فصل زمستان نشان می‌دهند. در این فصل نیز محور گسترش پرفشار، شرقی - غربی بوده و تمرکز هسته‌ها در دو محدودهٔ فلات تبت و دریاچه‌های بایکال و بالخاش قرار دارد. همان‌طور که مشاهده می‌شود، در ماه ژانویه کل زبانه‌های مذکور در محدودهٔ دریاچه بایکال تا بالخاش بسته شده‌اند که غربی‌ترین حد گسترش آن تا طول ۳۷ درجهٔ غربی (شمال دریای سیاه) است. در ماه فوریه تعداد هسته‌ها نسبت به ماه قبل، کمی به سمت غرب جایی داشته‌اند و امتداد این زبانه‌ها از سمت شمال شرق با فرستادن موج سرما وارد مناطق شمال شرق کشور می‌شوند. با وجود افزایش نسبی دما در ماه مارس، تمرکز بیشتر هسته‌های پرفشار در محدودهٔ بین دریاچه‌های بایکال و بالخاش (عرض‌های ۴۸ تا ۵۱ درجهٔ شمالی) بوده که به سمت غرب و شمال دریای سیاه (طول ۳۸ درجهٔ غربی)؛ یعنی غربی‌ترین حد گسترش آن، امتداد یافته است.



شکل ۲۹. محور گسترش پرفشار سیبری متوسط
فوریه ۲۰۱۰-۲۰۱۱



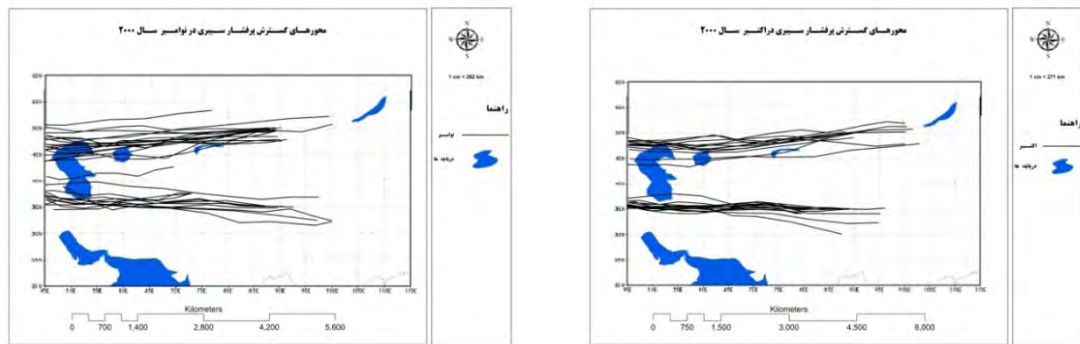
شکل ۲۸. محور گسترش پرفشار سیبری متوسط
اپریل ۲۰۱۰-۲۰۱۱



شکل ۳۰. محور گسترش پرفشار سیبری متوسط مارس ۲۰۱۰-۲۰۱۱

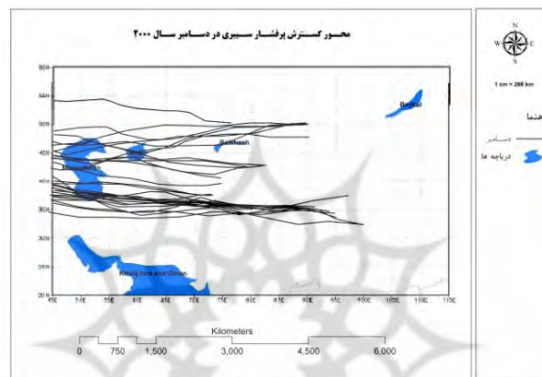
تحلیل محور گسترش پرفشار سیبری نمونه سال ۲۰۱۰ فصل پاییز

شکل‌های ۳۱ تا ۳۳ محور گسترش پرفشار سیبری را در فصل پاییز نشان می‌دهند. مشاهده می‌شود که الگوی گسترش این سامانه در راستای شرقی - غربی بوده است و با میانگین گسترش یازده ساله هماهنگی دارد. در ماه اکتبر بیشترین تمرکز هسته‌ها در محدوده فلات تبت (عرضهای ۳۰ تا ۳۷ درجه شمالی و طولهای ۸۷ تا ۱۰۴ درجه شرقی) بوده که از سمت شرق کشور با عبور از افغانستان وارد ایران شده و به سمت مرکز عراق گسترش یافته است؛ در مقابل هسته‌هایی که در محدوده بین دریاچه بایکال و بالخاش تشکیل شده با عبور از دریاچه آرال و دریای مازندران، به سمت دریای سیاه گسترش یافته است. در ماه نوامبر و دسامبر تمرکز هسته‌ها در محدوده بین دریاچه‌های بایکال و بالخاش (عرضهای ۴۷ تا ۵۳ درجه شمالی و طول ۱۰۰ درجه شرقی) بوده که به سمت غرب تا مرکزیت عراق پیش رفته است.



شکل ۳۲. محور گسترش پرفشار سیبری نوامبر ۲۰۰۰

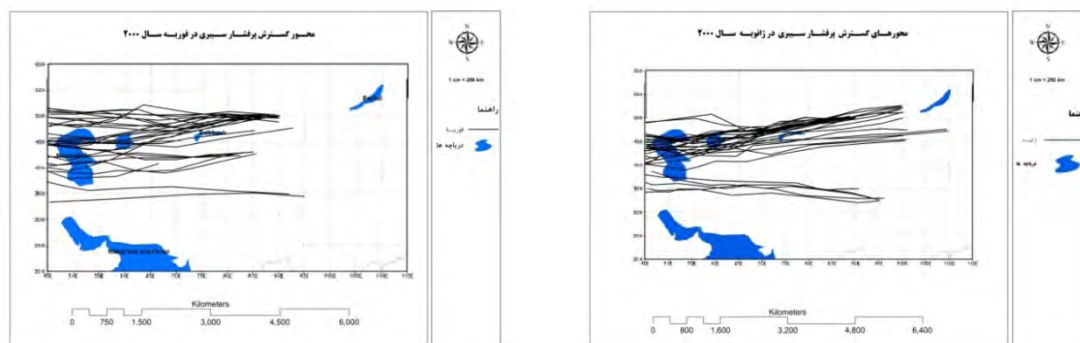
شکل ۳۱. محور گسترش پرفشار سیبری اکتبر ۲۰۰۰



شکل ۳۳. محور گسترش پرفشار سیبری دسامبر سال ۲۰۰۰

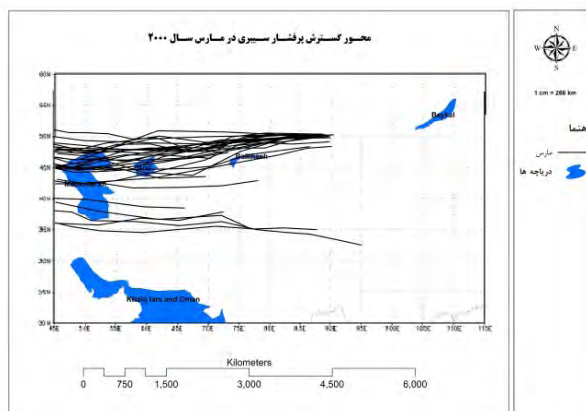
فصل زمستان

شکل‌های ۳۴، ۳۵ و ۳۶ محور گسترش پرفشار سیبری را در فصل زمستان نشان می‌دهند. در این فصل الگوی گسترش پرفشار سیبری نیز کاملاً شرقی - غربی است. هسته‌های اصلی تمرکز پرفشار در محدوده بین دریاچه‌های بایکال و بالخاش قرار دارد که به سمت غرب و شمال دریای سیاه (طول ۳۰ درجهٔ غربی) امتداد یافته است. چند مورد از هسته‌ها در این ماه نیز روی فلات تبت (۳۳ تا ۳۷ درجهٔ شمالی) شکل گرفته‌اند که پس از عبور از افغانستان، از سمت شرق و از سمت خراسان رضوی وارد ایران شده و تا مرکز عراق پیش رفته‌اند. فشردگی هسته‌ها در محدوده بین دریاچه‌های بایکال و بالخاش جالب توجه است و با میانگین یازده‌ساله مطابقت دارد.



شکل ۳۵. محور گسترش پرفشار سیبری فوریه ۲۰۰۰

شکل ۳۴. محور گسترش پرفشار سیبری ژانویه ۲۰۰۰



شکل ۳۶. محور گسترش پرفشار سیبری مارس سال ۲۰۰۰

بحث و نتیجه‌گیری

پرفشار سیبری یکی از سامانه‌های مهم و تأثیرگذار بر آب و هوای بخش گسترهای از ایران، به خصوص در دوره سرد سال یا دوره بارشی ایران است. الگوهای سطح فوقانی جو در شکل‌گیری این سامانه نقش بسزایی دارند؛ به طوری که عامل عمده تشکیل پرفشار سیبری، آرایش مکانی فرود بادهای غربی در سیبری است. پرفشار سیبری، در زیر منطقه وزش چرخدنگی منفی و در عقب فرود بادهای غربی تشکیل می‌شود. در بسیاری از موارد امکان ورود یا عدم ورود سامانه‌های بارشی از غرب و جنوب غرب به الگوی گسترش زبانه پرفشار و شدت فشاری این پرفشار بستگی دارد. چنین برمی‌آید که این زبانه پرفشار به طور مستقیم در ورود موج‌های سرد به ایران، به خصوص موج سرماز زودرس و دیررس و موج‌های سرد زمستانه نقش مهمی دارد. علاوه‌بر آن، بر شدت و پهنه گسترش بارش‌های سواحل شمالی ایران نیز اثر مستقیم دارد. به طور کلی این پژوهش نتایج زیر را در برداشته است:

۱. هسته مرکزی سلول پرفشار مؤثر بر آب و هوای ایران، از اوایل پاییز از روی تبت شروع شده که با افزایش سرما و نزدیک شدن به فصل زمستان، کم کم به سمت عرض‌های بالاتر حرکت کرده و در محدوده‌ای بین دریاچه بایکال و بالخاش مستقر می‌شود. در این ماه به نظر می‌رسد که هنوز دمای هوا روی خشکی‌های سیبری زمینه لازم را برای تشکیل این سامانه فراهم نکرده است. در مقابل با نزدیک شدن به ماه سرد سال در نیمکره شمالی، تراکم هسته‌های مرکزی پرفشار به سمت عرض‌های بالاتر بیشتر شده است. این پدیده، هم در بررسی الگوی متوسط دوره‌ای و هم در بررسی روزانه هسته مرکزی پرفشار مشاهده شد. در اغلب موارد فشار هسته مرکزی به بیش از 10^{35} هکتوپاسکال می‌رسد.
۲. زبانه پرفشار سیبری الگویی کاملاً شمال شرقی - جنوب غربی دارد که در آغاز پاییز، از سمت شرق محدوده‌ای بین افغانستان و پاکستان وارد ایران شده و تا دامنه‌های شرقی البرز گسترش می‌یابد. با نزدیک شدن به فصل زمستان و انتقال هسته مرکزی پرفشار به عرض‌های بالاتر، زبانه پرفشار سیبری از سمت شمال شرق وارد ایران شده و گاهی تا جنوب ایران و حتی دریای عمان نیز گسترش می‌یابد. در اوایل شکل‌گیری پرفشار سیبری (ماه اکتبر)، مقادیر فشار مرکزی این سامانه کم بوده و فلات تبت شرایط لازم را برای ایجاد این پرفشار فراهم کرده است، در حالیکه با سرد شدن هوای کمبود بیلان انرژی در عرض‌های بالا، این سامانه به محدوده بین دریاچه بایکال و بالخاش منتقل شده است. حد

انتهایی گسترش این زبانه به سمت مرکز و غرب ایران در حال امتداد است؛ به طوری که تمام نواحی ایران را دربرگرفته و هوای سرد را برای این مناطق به ارمغان می‌آورد.

۳. الگوی اصلی گسترش پرفشار سیبری الگویی شرقی - غربی است. به گفته دیگر، محور طویل پرفشار عموماً شرقی - غربی است. این محور در زمانی که هسته روی دریاچه بایکال و بالخاش قرار دارد، بسیار گستردتر است؛ به طوری که گاهی پهنه‌ای بیش از ۴۰ درجه طول جغرافیایی را دربرمی‌گیرد، ولی وقتی روی فلات بت قرار می‌گیرد، محور گسترش آن بهدلیل عوامل توپوگرافی، در شرق و غرب گسترش قابل توجهی ندارد.

منابع

- ایران‌نژاد، پ؛ احمدی گیوی، ف. و محمدنژاد، ع. (۱۳۸۸). اثر بازه‌های نوسان سالانه کمرنگ پرفشار جنوب حاره و پرفشار سیبری بر چرخندزایی مدیترانه و بارش ایران، مجله فیزیک زمین و فضا، دوره ۳۵، شماره ۴، صص. ۱۳۰-۱۱۵.
- احمدی گیوی، ف؛ احمدی حجت، م. (۱۳۹۱). بررسی دینامیکی و ترمودینامیکی ساختار پرفشار سیبری و عوامل مؤثر در تقویت آن در دوره ۱۹۴۸-۲۰۰۸، مجله ژئوفیزیک ایران، دوره ۶، شماره ۱، صص. ۱۲۷-۱۰۷.
- امیدوار، ک؛ ابراهیمی، ع. (۱۳۹۱). تحلیل همدید موج سرمای شدید ۱۶ تا ۲۵ دی ماه ۱۳۸۶ در ایران مرکزی، مجله جغرافیا و برنامه‌ریزی محیطی، سال ۲۳، شماره ۱، صص. ۸۹-۸۱.
- بلیغی، م. (۱۳۷۵). ورود پرفشار سیبری به خراسان و تأثیر آن بر اقلیم منطقه. رساله کارشناسی ارشد با راهنمایی بهلوان علیجانی، تهران: دانشگاه تربیت معلم.
- چوچاچی‌زاده مقدم، م. ب. (۱۳۷۶). تحلیل سینوپتیکی اثر پرفشار سیبری بر دمای شمال شرق ایران. رساله دکتری با راهنمایی بهلوان علیجانی، تهران: دانشگاه تهران.
- خسروی، م. و اسماعیلی، ر. (۱۳۸۶). بررسی الگوهای همدید یخ‌بندان‌های دیررس شمال شرق. مجله علوم جغرافیایی، شماره ۷۶، صص. ۷۵-۵۳.
- شهرخوندی، س. م؛ حسنعلی، غ؛ کاویانی، م. ر. (۱۳۸۶). گردش به هنجر جو و پارامترهای شاخص مراکز عمل در فصل زمستان بر روی ایران. مجله پژوهشی دانشگاه اصفهان، شماره ۱، پیاپی، ۲۲، صص. ۱۰۰-۸۵.
- عزیزی، ق. و یوسفی، ح. (۱۳۸۴). زمان‌یابی ورود پرفشار سیبری به سواحل جنوبی دریای خزر. فصلنامه علمی پژوهشی دانشگاه تربیت مدرس، دوره ۹، شماره ۴، صص. ۱۰۰-۸۱.
- عزیزی، ق؛ اکبری، ط؛ داودی، م؛ اکبری، م. (۱۳۸۸). تحلیل همدید موج سرمای شدید دی ماه ایران ۱۳۸۶. فصلنامه پژوهش‌های جغرافیای طبیعی، شماره ۷۰، صص. ۱۹-۱.
- علیجانی، ب. (۱۳۶۹). چگونگی تشکیل فرابار سیبری و اثر آن بر اقلیم شرق ایران. فصلنامه تحقیقات جغرافیایی، شماره ۷، صص. ۲۵۱-۲۴۱.
- علیجانی، ب. و هوشیار، م. (۱۳۸۷). شناسایی الگوهای سینوپتیکی سرمایهای شدید منطقه شمال غرب ایران. پژوهش‌های جغرافیایی، شماره ۱۶، صص. ۱۶-۱.
- علیجانی، ب؛ طاوسی، ت؛ نگارش، ح؛ کریمی، ص. (۱۳۹۱). تحلیل همدید امواج سرمایهای فرآگیر ایران. مجله جغرافیا و توسعه، شماره ۱۰، دوره ۲۹، صص. ۷۶-۵۵.
- علیجانی، ب؛ محمودی، پ؛ خسروی، م؛ مسعودیان، ا. (۱۳۹۱). نابهنجاری‌های همدیدی منجر به یخ‌بندان‌های فرآگیر ایران. مجله جغرافیا و مخاطرات محیطی، شماره ۱، صص. ۳۴-۱۷.

عیسی‌زاده، ش؛ معماریان، م. ح؛ میرکنی، م.؛ تقی‌زاده، ا. (۱۳۸۹). تحلیل همدید یخ‌بندان‌های استان آذربایجان شرقی، چهاردهمین کنفرانس ژئوفیزیک ایران، موسسه ژئوفیزیک، اریبهشت ۱۳۸۹، شماره ۱۴، صص. ۲۳۱-۲۳۸.

لشکری، ح. (۱۳۷۵). مطالعه پراکندگی جغرافیایی وقوع آنتی سیکلون‌ها بر روی ایران. رشد جغرافیا، شماره ۴۱، صص. ۴-۱۴.

لشکری، ح. (۱۳۸۷). بررسی تحلیل سینوپتیکی موج سرمای فرائیگیر ۱۳۸۲ در ایران. پژوهش‌های جغرافیای طبیعی، شماره ۶۶، صص. ۱-۱۸.

مسعودیان، ا؛ کاشکی، ع. و حسینی، م. (۱۳۹۰). بررسی تیپ‌های همدید اقلیمی شمال شرق کشور و ارتباط آن با سامانه‌های گردشی روز، مجله جغرافیا و توسعه، شماره ۲۵، صص. ۵۹-۷۸.

مفیدی، ع؛ ذرین، آ. (۱۳۸۵). تحلیلی بر ساختار و ماهیت مرکز کم فشار و پرفشار. مجله زمین‌شناسی، دوره ۱۲، شماره ۱، صص. ۵۳-۶۰.

مهمندوست، خ. (۱۳۸۵). مطالعه شدت و گسترش پرفشار سیبری بر روی ایران با استفاده از جی. آی. اس. پایان‌نامه کارشناسی ارشد، به راهنمایی بهلول علیجانی، تهران: دانشگاه تربیت معلم.

Alamoudi A. A., Hasanean, H. M., Almazroui, M., 2013, **Siberian High Variability and its Teleconnections with Tropical Circulations and Surface Air Temperature over Saudi Arabia**, Springer-Verlag Berlin Heidelberg, No. 10, PP. 1-16.

Alijani, B., Hoshyar, M., 2009, **Identification of synoptic Patterns Intense cold region North West Iran**, Journal of Geographical Research, Tehran University, No. 65, PP. 16-1.

Alijani, B., Mahmoudi, P., Khosravi, M., Masoudian, A., 2011, **Anomaly synoptic Resulting Pervasive Glacials in Iran**, Journal of Geography Hazards Environmental, No. 1, PP. 34-17.

Alijani, B., Tavoosi, T., Negahsh, H., Karimi, S., 2011, **Synoptic analysis of the Synoptic Waves rmahay Iran**, Journal of Geography and Development, Vol. 10, No. 29, PP. 76-55.

Alijani, B., 1990, **How Formation Siberian High-pressure and its Effecton the Climate of East Iran**, Journal Geographical Research, No. 7, PP. 241-251.

Azizi, G., Akbari, T., Davoodi, M., Akbari, M., 2011, **Synoptic Analysis of Severe Cold Wave Iran in January 2008**, Journal of Physical Geography , No. 70, PP. 1-19.

Azizi, G., Youseph, H., 2006, **Time Pressure Siberia The Southern Coast of the Caspian Sea**, Journal Research University, Vol. 9 , No. 4, PP. 100-81.

Balighi, M., ۱۹۹۶, **Entry into Khorasan Siberian High-pressure and its Impact on Regional Climate**, MA Thesis, Supervisor doctor Alijani, B., University of Teacher Education, Tehran.

Chokhachyzade Moghadam, M., 1997, **Synoptic Analysis of Temperature Effect on the North-East Siberian High-pressure Iran**, Ph.D. Thesis, .Supervisor doctor Alijani, B., Tehran University.

Ding, Y., and Krishnamurti, T. N., 1987, **Heat Budget of the Siberian High and Winter Monsoon**, Mon. Wea. Rev., No. 115, PP. 2428-2449.

Esazade, SH., Memarian, M.H., Mir rokni, M., Taghizadeh, E., 2010, **Synoptic analysis glaciation of East Azarbaijan Province**, Iran Geophysics Conference, No. 14, PP. 23-21.

Iran-Nejad, Parviz, Ahmadi-Givi, F., Mohammad Nejad, A., 2010, **Effect Annual fluctuation range Subtropical high pressurebelt and high Pressure Siberian over Rotate Birth the Mediterranean and Iran Rain Fall**, Earth and Space Physics, Vol. 35 , No. 4, PP. 130-115.

Khosravi, M., Ismail, R., 2008, **Synoptic patterns of Late Glacial North East**, Journal of Geographical Sciences, PP. 75-53.

Lashkari, H., 1996, **Study of the Geographical Distribution of anti-cyclones on Iran**, Grow Geography, No. 41, Spring.Pp.14-4.

Lashkari, H., 2009, **Synoptic Analysis of the Cold Wave Pervasive the 2009 Iran**, Studies Geography, No. 66, PP. 18-1.

Lydolph, P., 1977, **Climates of Soviet Union Word of Climatology Boloume**, Department of Geography University of Wisconsin-mil Wake.

- Masoudian, A., Kashki, A., Hosseini, M., 2012, **Check Type of Synoptic Weather Systems in the North East of the Country and its Relationship with Daily Circulation**, Journal of Geography and Development, No. 25, PP. 78-59.
- Mehmandoost, Kh., 2007, **studiedthe intensity of the Siberian high pressureon Iran using GIS**, M.Sc. Thesis, University of Teacher Education, Tehran.
- Mofidi, A., Zarin, A., 2006, **Analysis of the Structure and Nature of the Low Pressure and High Pressure**, The Journal of Geology, Vol. 12, No. 1, PP. 53-60.
- Omidvar, K.,Ebrahimi,A., **Synoptic Analysis of Severe Cold Wave Iran in date 16-25 January 2008**, , Journal of Geography and Environmental planning, Vol. 45, No. 1, PP. 81-98.
- Shahrokhvandy, M., Hasanali, GH., Kaviani, M., 2008, **Atmospheric Circulation Tonormal and the Parameters of the Action Centerson Iranin Winter**, Journal of Isfahan, No. 1, PP. 100-85.
- Takahashi H., 1990, **Migration of the Cold Air Mass Related to Rain Belt Formation of the Chienese Continent and Atmospheric Circulation System during the Baiu Season (in Japanese)**, Geographic Review of Japan, P. 64.
- Takaya, K., and Nakamura, H, 2005, **Mechanism of Interseasonal Amplification of the Cold Siberian High**, Journal of the Atmospheric Sciences, Vol. 62, PP. 4423-4440.
- Zhang, Y.,Sperber, K.; Boyle, J., 1996, **Climatology of East Asia Winter Monsoon and Cold Surges Program for Climate Model Diagnosis and Intercomparison (PCMDI)** , No. 38, PP 1-4.

